

高等学校试用教材

南京师范大学编

第三版 主编

电子  
线路  
基础  
实验



TN710-33

443398

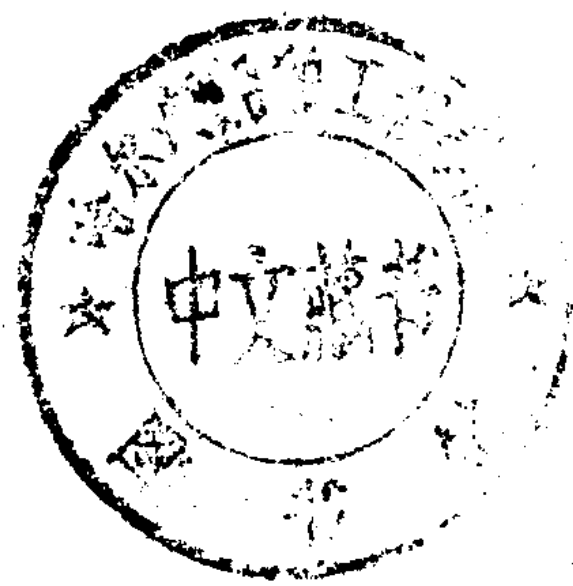
G95

高等学校试用教材

# 电子线路基础实验

华东师范大学物理系

邦三生 主编



00443398

高等教育出版社



(京)112号

本书是根据一九八〇年六月高等学校理科教材编审委员会通过的高师《电子线路基础实验》教材编写大纲编写的。与华东师范大学万嘉若、林康运等编《电子线路基础》上、下册配套。书中在内容上讲述了无线电各种参量的测量技术、常用电子仪器的使用方法、简单单元电路的调整及综合实验的调试方法等。

本书可作为师范院校物理系无线电类的试用教材。也可供工科院校有关专业的师生及从事电子技术工作的人员参考。

责任编辑 郭玉凤

D171/27

图书在版编目(CIP)数据

电子线路基础实验/郭三宝主编. —北京:高等教育出版社, 1986. 4(1999重印)

ISBN 7-04-001599-4

I. 电… II. 郭… III. 电子电路-实验 IV. TN710-33

中国版本图书馆 CIP 数据核字 (98) 第 38402 号

---

出版发行 高等教育出版社

社 址 北京市东城区沙滩后街 55 号

邮政编码 100009

电 话 010—64054588

传 真 010—64014048

网 址 <http://www.hep.edu.cn>

经 销 新华书店北京发行所

印 刷 成都新华印刷厂

开 本 787×1092 1/16

版 次 1986 年 4 月第 1 版

印 张 15.75

印 次 1999 年 6 月第 12 次印刷

字 数 340 000

定 价 13.40 元

---

凡购买高等教育出版社图书,如有缺页、倒页、脱页等  
质量问题,请在所购图书销售部门联系调换。

版权所有 侵权必究

## 前　　言

本书初稿曾在华东师范大学物理系1976～1979级四届本科学生的《无线电基础实验》课程中试用，以后根据1980年6月高等学校理科教材编审委员会通过的高师《电子线路基础实验》大纲作了修改，并于1981年1月经审稿会议审查通过。

本书与万嘉若、林康运等编《电子线路基础》一书配套使用，也可作为独立开设的电子线路基础实验课的试用教材。

结合电子线路基础课程的特点和各地区高等师范院校的具体条件，本书共编写32个实验项目，可供各校灵活选用。采用本书时，请从下述四类实验中，按要求各选若干个组成实验课。

1. 掌握元件参数：信号电压（电流）的幅度、频率、相位；放大器的静态工作点、增益、频响特性、输入、输出阻抗、失真系数、稳定性；振荡器的频率、输出幅度等基本测量技术。
2. 通过实验，能比较熟练地掌握常用电子仪器的使用方法。如：示波器，高、低频信号发生器，失真度计，数字频率计，晶体管特性图示仪等。
3. 对一些简单的单元电路，如：单管放大器、OTL功率放大器、集-基耦合单稳态电路、LC振荡器等，能根据要求合理安排元件，正确地进行焊接和调整。
4. 综合性实验。如收音机的统调、简单计数器的安装和调试等。

本书的编写得到陈涵查教授的指导和关心。具体的组织和编写工作由万嘉若同志负责主持。书稿由郭三宝、刘必虎、沈建国、张为民、王忠俊五位同志分工编写，郭三宝同志和林康运同志统稿，最后由万嘉若同志定稿。

在编写过程中，全国四十余所兄弟师范院校的老师们给予热情的支持和鼓励，并对本书提供许多宝贵的意见。审稿会上，在主审单位东北师范大学和南京大学的主持下，北京师范大学、西南师范学院、华中师范大学、天津师范大学、华南师范大学、湖南师范学院，陕西师范学院以及四平师范学院和延边大学等兄弟院校老师们，仔细审阅每个实验的书稿，指出错误，提出修改建议。同时得到本组王凯、翁默颖、陈康宏、俞仲俊、章永明等同志大力协助。在此一并致以衷心的感谢。

限于我们的水平，书中仍难免有缺点和错误恳切希望兄弟院校师生和广大读者给予批评指正。

编　者

# 符 号 说 明

## 一、辅助符号

### 1. 顶部记号

- 直流量、平均值(例:电压平均值  $V$ ;晶体管共射的直流电流放大系数  $\beta$ )
- 复数(例:正弦交流电压复数值  $\hat{V}$ )

### 2. 侧部记号

$\Delta$  — 微变量(例:集电极电流微变量  $\Delta I_c$ )

$||$  — 绝对值、模

### 3. 脚注记号

$B(b)$  — 晶体管基极、击穿(例:基极对地电压  $V_b$ ;击穿电压  $V_{br}$ )

$C(c)$  — 晶体管集电极、电容器、载波

$D(d)$  — 二极管、失真系数

$E(e)$  — 晶体管发射极、直流电源

$F(f)$  — 反馈、正向

$G(g)$  — 功率增益

$H$  — 高、行扫描、行同步脉冲间距

$i$  — 电流、输入

$L$  — 低、负载

$M$  — 允许最大值

$m$  — 振幅、调幅

$max$  — 最大值

$min$  — 最小值

$N(n)$  — 中和、噪声

$o$  — 输出、直流量、谐振固有量、中频段

$off$  — 关闭

$on$  — 开启

$P(p)$  — 功率、峰值、皮可( $10^{-12}$ )

$Q$  — 工作点

$R$  — 电阻、反向

$r$  — 交流等效电阻、上升(时间)、反向、逆程

$S(s)$  — 信号源、饱和、正程

$T$  — 周期、特征(频率)、温度

$t$  — 时间、温度

$V(v)$ ——电压、场扫描

$Z$ ——齐纳(稳压)

$\Sigma$ ——总和量

## 二、主要符号

$A$ ——放大倍数(增益)、安培、选择性

$B(b)$ ——频带宽度、晶体管基极

$BV$ ——反向击穿电压

$C(c)$ ——电容、晶体管集电极

CMRR——共模抑制比

$CP$ ——钟脉冲

$D(d)$ ——二极管、稳压二极管、非线性失真系数

dB——分贝

div——格

$E$ ——直流电源

$e$ ——晶体管发射极

$F$ ——反馈系数

$f$ ——频率、法

$G(g)$ ——电导、用分贝表示的增益

$H$ ——亨利

Hz——赫兹

$I$ ——直流电流、交流电流有效值

$i$ ——交流电流瞬时值

$k$ ——千( $10^3$ )

$L$ ——电感

$M$ ——互感、兆( $10^6$ )

$m$ ——调幅系数、毫( $10^{-3}$ )

$N$ ——变压器绕组的匝数

$n$ ——变压器匝数比

ns——纳秒

$P$ ——功率

$Q$ ——静态工作点、 $LC$  回路品质因素, 触发器输出端

$R(r)$ ——电阻(动态电阻、微变等效电阻)

$R_p$ ——可变电阻

$S(s)$ ——稳压系数、脉动系数、西门子、秒、开关

$T(t)$ ——晶体管、周期、绝对温度、(时间、摄氏温度)

$Tr$ ——变压器

$V(v)$ ——直流电压(交流瞬时电压或直流上叠加有交流的总电压)、交流电压的有效

值、伏特

$W$ ——电位器、瓦特

$X(x)$ ——电抗

$Y(y)$ ——导纳

$Z(z)$ ——阻抗

$\alpha$ ——共基电流放大系数

$\beta$ ——共射电流放大系数

$\gamma$ ——纹波因数

$\eta$ ——效率

$\mu$ ——微( $10^{-6}$ )

$\tau$ ——时间常数

$\varphi$ ——相位角、损耗角

$\omega$ ——角频率

$\Omega$ ——欧姆

$\xi$ ——谐振回路失谐量

$\Sigma$ ——总和

## 目 录

实验一	示波器的使用	1	其使用	124	
实验二	晶体管特性鉴别和测试	10	实验二十五	组合逻辑电路设计	131
实验三	晶体管特性的测量	14	实验二十六	基本 R-S 触发器和 D 触发器	133
实验四	放大器静态工作点和放大倍数的测量	24	实验二十七	J-K 触发器	137
实验五	放大器频响特性和输入、输出电阻的测量	30	实验二十八	计数译码和显示	142
实验六	负反馈放大器性能的测量和调整	37	实验二十九	扫描电路	148
实验七	射极跟随器性能测试	42	实验三十	KP-12 高频头	153
实验八	推动级和乙类推挽功放级性能测试	47	实验三十一	电视中频放大器	160
实验九	“OTL”电路焊接和性能测试	53	实验三十二	设计实验	164
实验十	差动放大器	57	附录一	电阻、电容、电感元件简介	168
实验十一	集成运算放大器的测试	63	附录二	怎样做好锡焊工作	180
实验十二	集成运算放大器的应用	70	附录三	万用表	183
实验十三	调谐放大器	77	附录四	JT-1型晶体管特性图示仪	187
实验十四	RC 桥式振荡器	82	附录五	JW-79 晶体管直流稳压电源	191
实验十五	LC 正弦振荡器	86	附录六	XD-7 型低频信号发生器	192
实验十六	调幅与检波	90	附录七	XD-2 型低频信号发生器	194
实验十七	超外差式晶体管收音机的统调	96	附录八	DA-16 型晶体管毫伏表	196
实验十八	晶体管直流稳压电源	102	附录九	XFG-7 型高频信号发生器	198
实验十九	脉冲波形变换	106	附录十	ST-16 型示波器	200
实验二十	双稳态电路	111	附录十一	SBE-20 型二踪示波器	206
实验二十一	斯密特电路	115	附录十二	SR-2 型二踪示波器	210
实验二十二	单稳态电路	118	附录十三	SZ-3 型失真度测量仪	215
实验二十三	多谐振荡器	121	附录十四	PB-2 型十进频率计	218
实验二十四	TTL“与非”门参数测试及		附录十五	BT-4 型低频频率特性测试仪	222
			附录十六	BT-3 型频率特性测试仪	226
			附录十七	PZ-8 型直流数字电压表	229
			附录十八	QS18A 型万能电桥	234
			附录十九	QBG-3 型高频 Q 表	238

# 实验一 示波器的使用

## 一、实验目的

学习示波器的使用方法。

## 二、实验原理

示波器是一种用途很广的电子测量仪器。利用它可以测出电信号的一系列参数，如信号电压(或电流)的幅度、周期(或频率)、相位等。

通用示波器的结构包括垂直放大、水平放大、扫描、触发、示波管及电源等六个主要部分，方框图如图 1.1 所示。

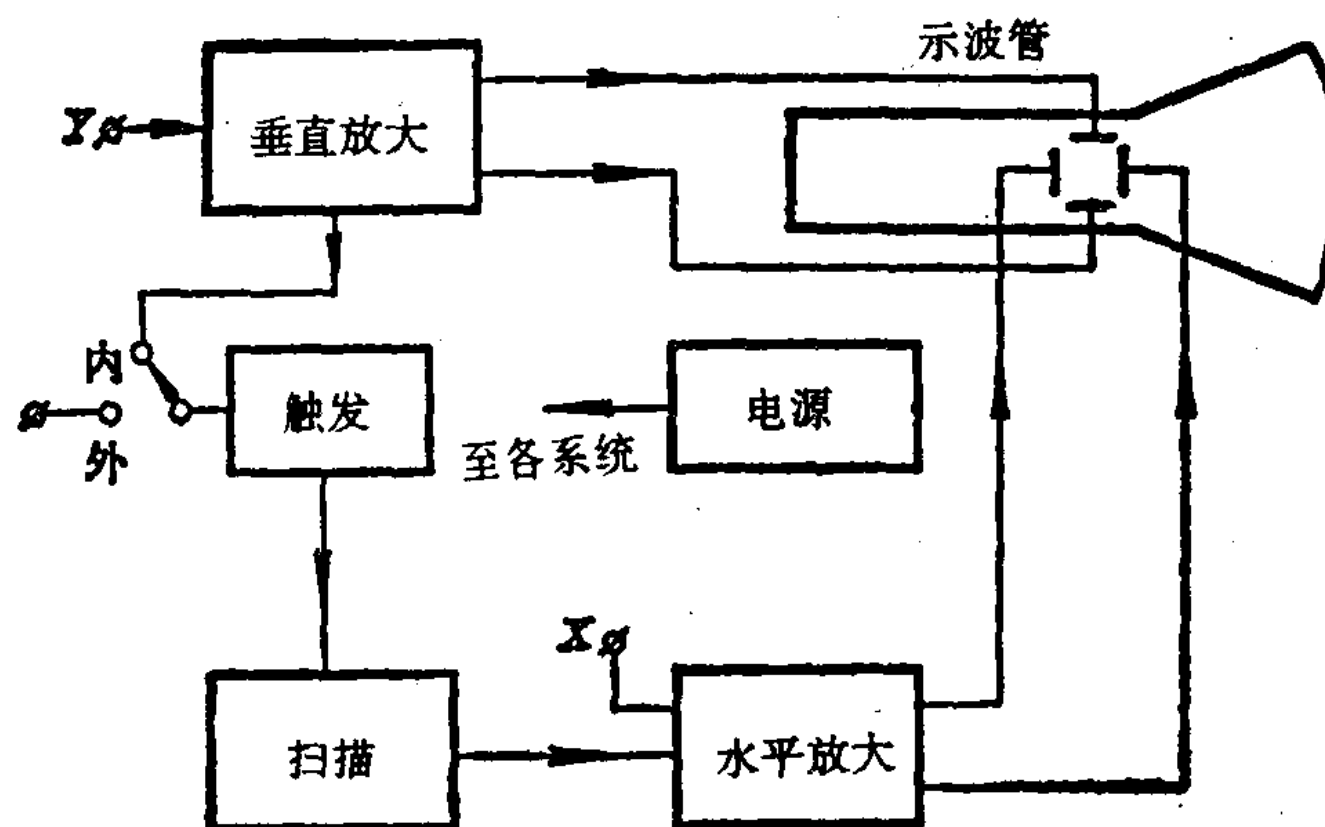


图 1.1 通过示波器结构方框图

现将各部分的主要作用简述如下：

### 1. 电子示波管

如图 1.2 所示，它主要由电子枪、偏转系统和荧光屏三部分组成。电子枪包括灯丝、阴极、栅

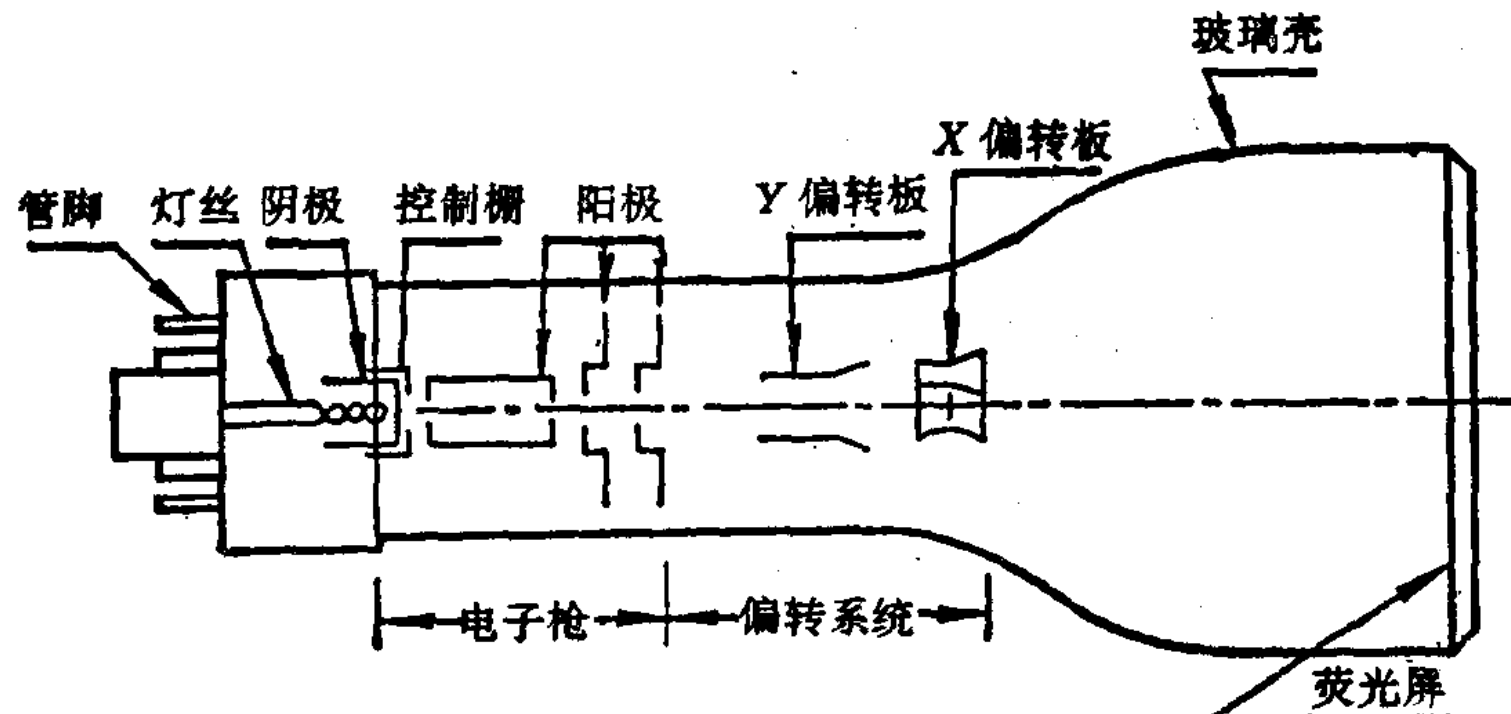


图 1.2 电子示波管结构图

极和阳极。偏转系统包括Y轴偏转板和X轴偏转板两个部分，它们能将电子枪发射出来的电子束，按照加于偏转板上的电压信号作出相应的偏移。荧光屏是位于示波管顶端涂有荧光物质的透明玻璃屏，当电子枪发射出来的电子束轰击到屏上时，荧光屏被击中的点上会发光。

## 2. 水平( $X$ )、垂直( $Y$ )放大器

电子示波管的灵敏度比较低，假如偏转板上没有足够的控制电压，就不能明显地观察到光点的移位。为了保证有足够的偏转电压，必需设置放大器将被观察的电信号加以放大。

## 3. 扫描发生器

它的作用是形成一线性电压模拟时间轴，以展示被观察的电信号随时间而变化的情况。

## 4. 波形的形成

在正常情况下，荧光屏光点的相对移位是和输入到示波器X轴或Y轴上的电压成正比的。例如：一正弦信号电压  $v_y = V_m \sin \omega t$ ，如图1.3(a)所示。图中Y轴表示电压的大小，X轴表示时间

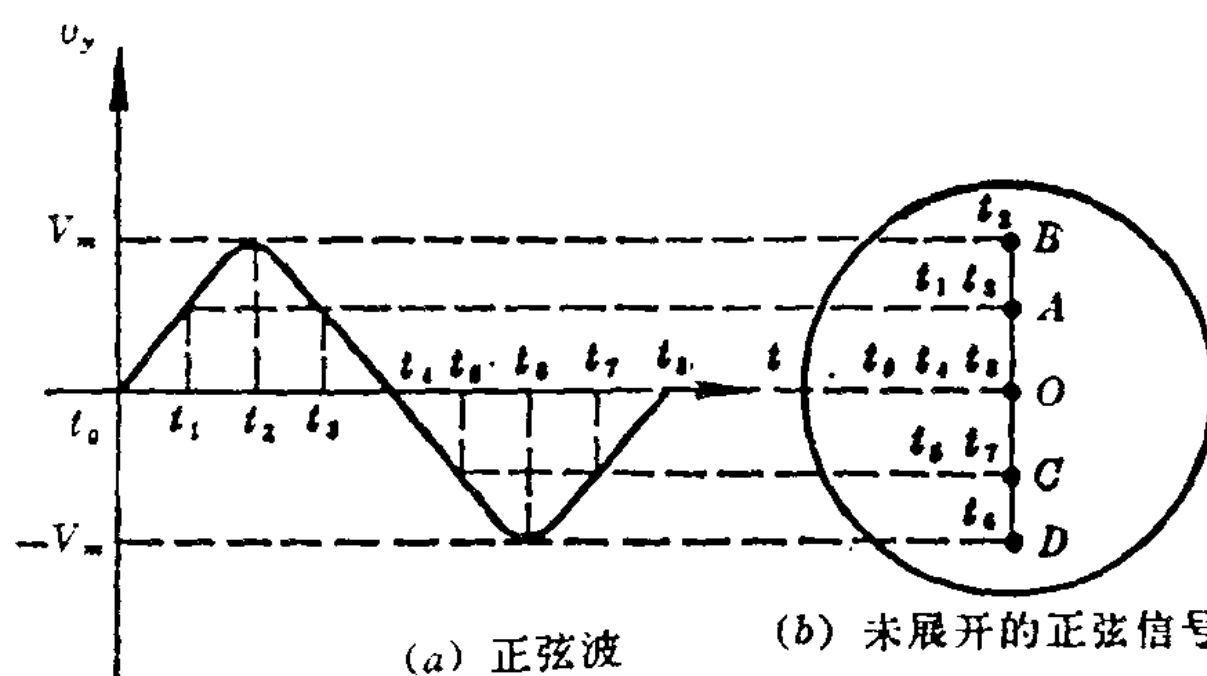


图1.3 正弦波

$t$ ，现把  $v_y$  送至示波器的Y轴偏转板上，荧光屏上看到的是一根竖着的直线。这个问题可从图1.3中来理解：当  $t_0$  时，Y轴偏转板上的电压  $v_y$  为零，光点无偏移地停在荧光屏的O点处。当  $t_1$  时， $v_y$  正向增大，光点偏移至A点。 $t_2$  时， $v_y$  达到正向最大值，光点偏移至B点。 $t_3$  时， $v_y$  下降，但仍然是正电压，光点回到A点。 $t_4$  时，电压为零，光点回到原点。可见，光点移动距离与所加电压成正比，故可用来测量电压的幅值。

同理，在负半周， $t_5, t_6, t_7, t_8$  各时刻光点相继经过C、D、C、O各点。

上述正弦波电压持续加在垂直偏转板上，光点不断地上下来回移动，只要移动速度足够快，利用人们视觉暂留效应，在荧光屏上看到的将是一根竖着的直线，如图1.3(b)所示。

为了显示正弦波形，在示波器的水平偏转板上需要加线性变化的锯齿波信号电压。如果Y轴偏转板上无信号，单独在X轴偏转板加锯齿波电压，则荧光屏上也观察到一条直线，只是成水

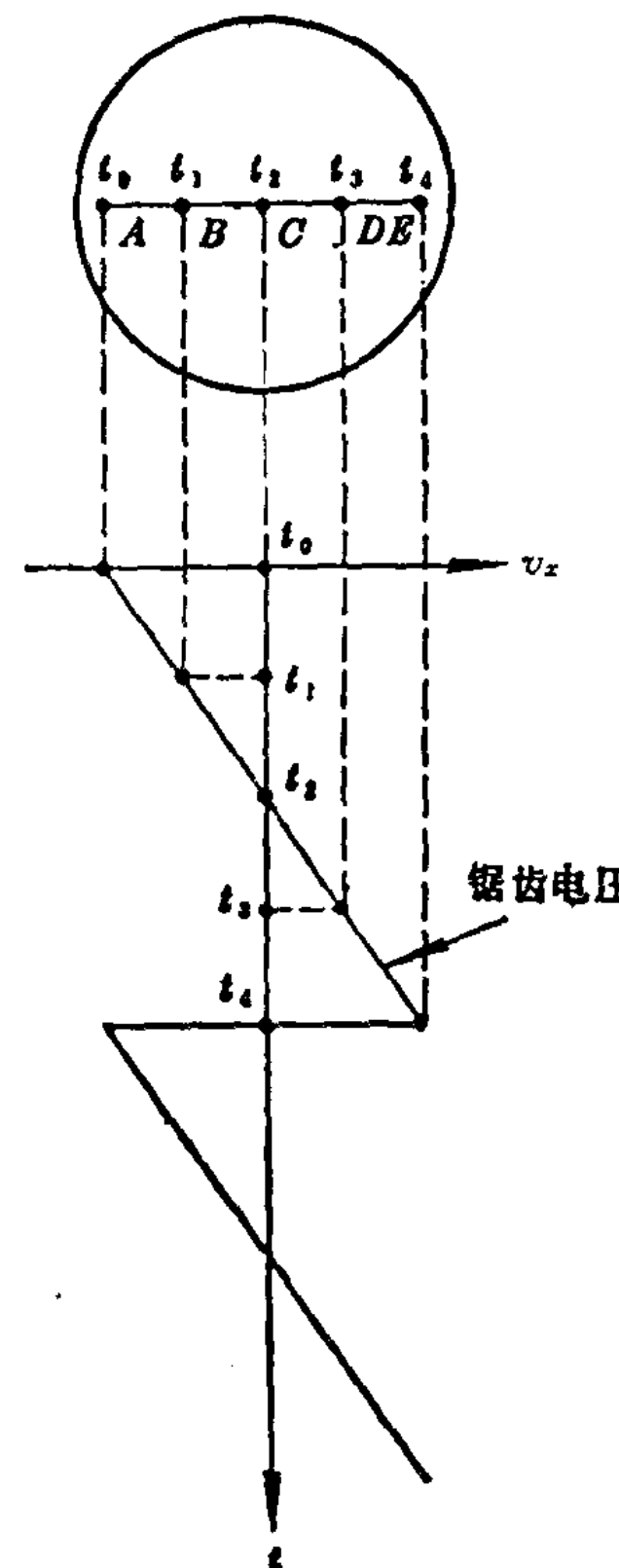


图1.4 锯齿电压波

平直线，其形成过程如下：

在  $t_0$  时， $v_y$  是负电压，光点在荧光屏上的  $A$  点；此后，电压直线上升。当  $t_1$  时，光点移到  $B$  点。 $t_2$  时，电压上升到零值，光点在中心处  $C$  点，电压继续增大为正值。当  $t_3$  时，光点移到  $D$  点。 $t_4$  时，电压上升到最大值，光点达到  $E$  点。然后电压迅速退回到负值，光点也就由  $E$  点迅速回到  $A$  点，如此不断反复，荧光屏上可以观察到一条水平直线，如图 1.4 所示。

如果将被观察的正弦波电压  $v_y$ ，加在  $Y$  轴偏转板上，同时又将扫描电压  $v_x$  加在  $X$  轴偏转板上，使正弦波的频率与扫描电压波的重复频率相等，那么在荧光屏上就能观察到一个完整的正弦波，如图 1.5 所示。其合成过程如下所述：

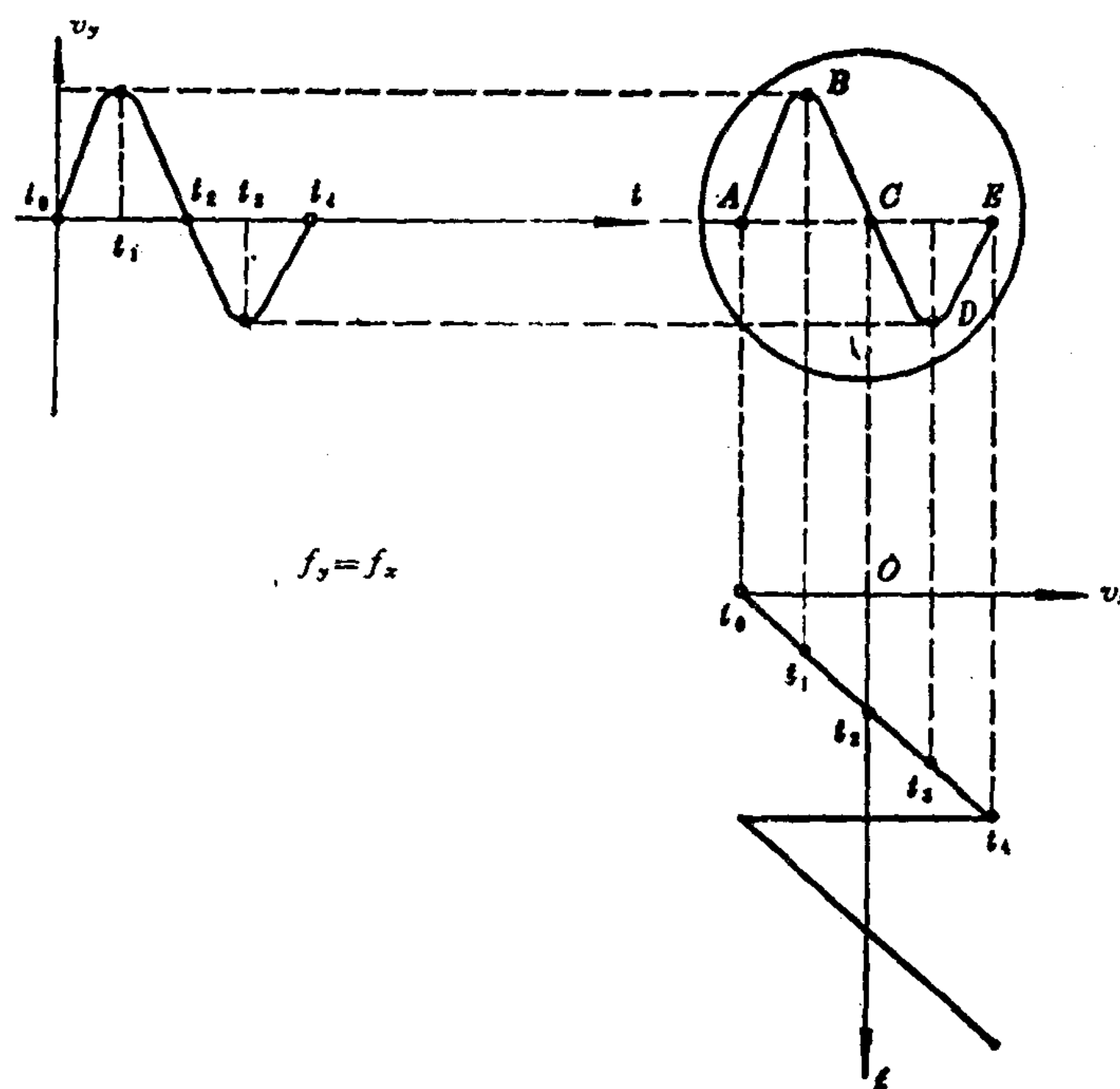


图 1.5 单周期波的合成过程

在  $t_0$  时， $v_y=0$ ， $Y$  轴方向无偏移，而  $v_x$  为负值，光点沿  $X$  轴向左偏移，位于荧光屏上的  $A$  点。在  $t_1$  时， $v_y$  上升，光点向上移，同时， $v_x$  也上升，光点又要向右移，合成功使光点移至荧光屏上的  $B$  点。以后，在  $t_2, t_3, t_4$  各时刻，光点相继沿  $C, D, E$  各点移动。 $t_4$  以后，由于  $v_x$  迅速返回至原始状态，光点将从  $E$  点迅速返回  $A$  点。接着正弦波重新开始第二个周期，扫描电压开始第二次扫描，荧光屏上呈现与第一次相重叠的正弦波形。如此不断重复，荧光屏上可观察到一个稳定的正弦波。

上述两者是在频率相同情况下，荧光屏显示出一个周期的正弦波。如果正弦波频率  $f_y$  是扫描波重复频率  $f_x$  的二倍时，即  $f_y=2f_x$ ，则在荧光屏上看到的将是 2 个周期的正弦波，如图 1.6 所示。从而可知，当  $f_y=nf_x$  时，在荧光屏上将呈现出  $n$  个周期的正弦波。

可以设想，如果  $f_y$  与  $f_x$  不是成整数倍的关系（ $n$  不是整数），波形就不能完全重叠。如何才

能使  $f_s$  与  $f_x$  之间保持整数倍的关系呢？在示波器中，通常是把输入 Y 轴的信号电压作用在扫描发生器上，使扫描频率  $f_s$  跟随信号频率  $f_x$  作些微小改变，以保持  $f_s$  与  $f_x$  成整数倍关系，这个作用称之为“同步”。现代示波器中经常采用的是“触发同步”，所谓“触发同步”，是当输入 Y 轴的信号电压瞬时值达到一定幅值时，触动扫描发生器，产生一个锯齿波电压。这个锯齿波扫描结束后，扫描发生器将处于等待下次触发信号的状态。可见，扫描电压的起始点与输入信号电压的某一瞬时保持同步，保证了波形的稳定。

### 三、练习内容和使用方法

1. 按示波器说明书要求（参阅附录 SBE-20、ST-16 使用说明）认清示波器各控制旋钮的位置和作用。开启电源，调节辉度、聚焦、水平和垂直移位，将同步极性开关、扫描（电压） $t/cm$  和电平、稳定性等旋钮置于适当位置，使荧光屏上呈现一条清晰均匀的水平线。反复练习上述操作，以求熟练。

#### 2. 电压测量

(1) 测量前校准。校准要求和方法因使用不同的示波器而各不相同，具体步骤请参阅附录中的说明。

##### (2) 交流电压 $V_{p-p}$ 测量

a. 将示波器（ST-16 或 SBE-20）的耦合选择开关置“AC”。低频信号发生器输出电压为 0.2 V（有效值），频率为  $f=1\text{ kHz}$  的音频信号，经示波器探极送入 Y 轴。

b. 根据被测信号的幅度和频率，合理选择 Y 轴衰减和 X 轴时基档级开关，并调节电平旋钮，使波形稳定如图 1.7 所示。

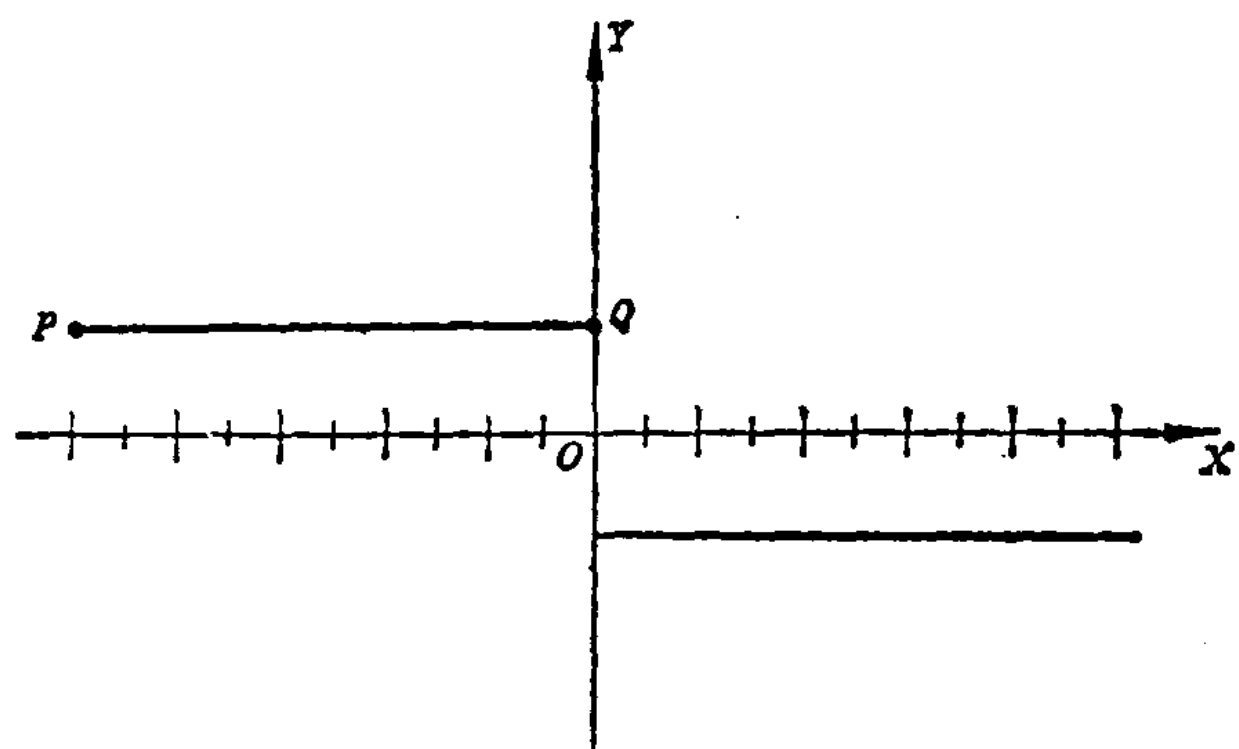


图 1.7 Y 轴灵敏度 X 轴时基校准

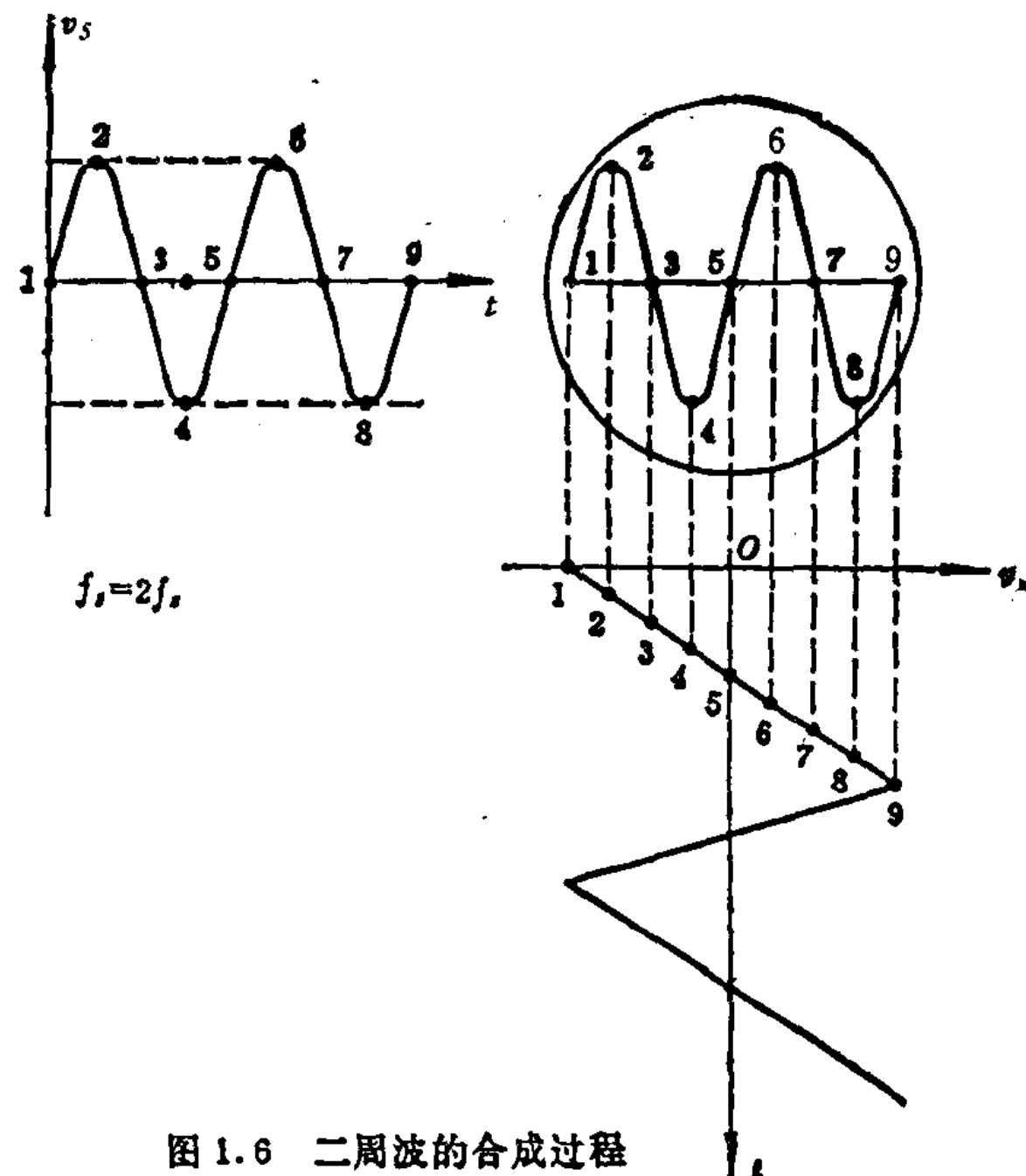


图 1.6 二周波的合成过程

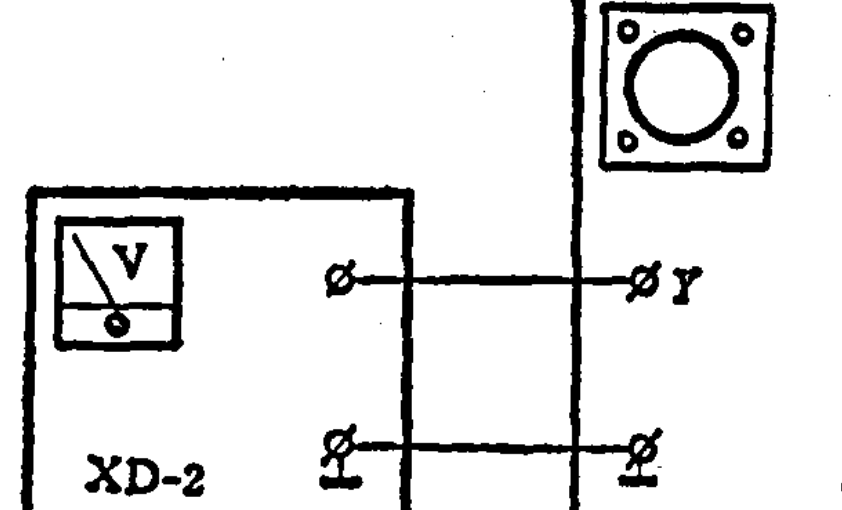


图 1.8 测量 XD-2 发生器输出电压联接电路

c. 读出被测信号  $V_{P-P}$ <sup>①</sup>

例：如果荧光屏上波形的峰-峰值为  $D \text{ div}$ （设  $D=3$ ），示波器探极衰减为 10:1，Y 轴灵敏度为 0.02V/div，则测得

$$\begin{aligned} V_{P-P} &= 0.02 \text{ V/div} \times D \text{ div} \times 10 = 0.2D(\text{V}) \\ &= 0.2 \times 3(\text{V}) = 0.6(\text{V}) \end{aligned}$$

式中 0.02V/div 是 ST-16 示波器无衰减的灵敏度，即每格代表 20 mV；10 为探极衰减量； $D$  为被测量信号在 Y 轴方向峰-峰之间距离，单位为格（即 div），以下用 ST-16 为例进行说明。

d. 令低频信号发生器输出电压分别为 1V, 2V, 3V, 4V, 5V, f=1 kHz，测量其相应的电压峰-峰值  $V'_{P-P}$ 。

e. 用示波器测量低频信号发生器的幅频特性曲线

测量时，先将低频信号发生器输出衰减置于 0 dB 档，在输出信号频率为 1 kHz 的情况下，调节输出微调电位器，使低频信号发生器的指示电压表的指针指在中间，然后保持输出微调电位器不变，改变低频信号发生器的输出频率，使其分别为 20 Hz, 50 Hz, 100 Hz, 200 Hz, 1 kHz, 1.5 kHz, 2.5 kHz, 5 kHz, 10 kHz, ……，用示波器测出相应的电压  $V_{P-P}$ ，同时记下相应的低频发生器电表指示值  $V_r$ （有效值）。从而绘出幅频特性曲线  $V_{P-P} \sim \log f$  及  $V_r \sim \log f$ 。测量仪器连接如图 1.8 所示。

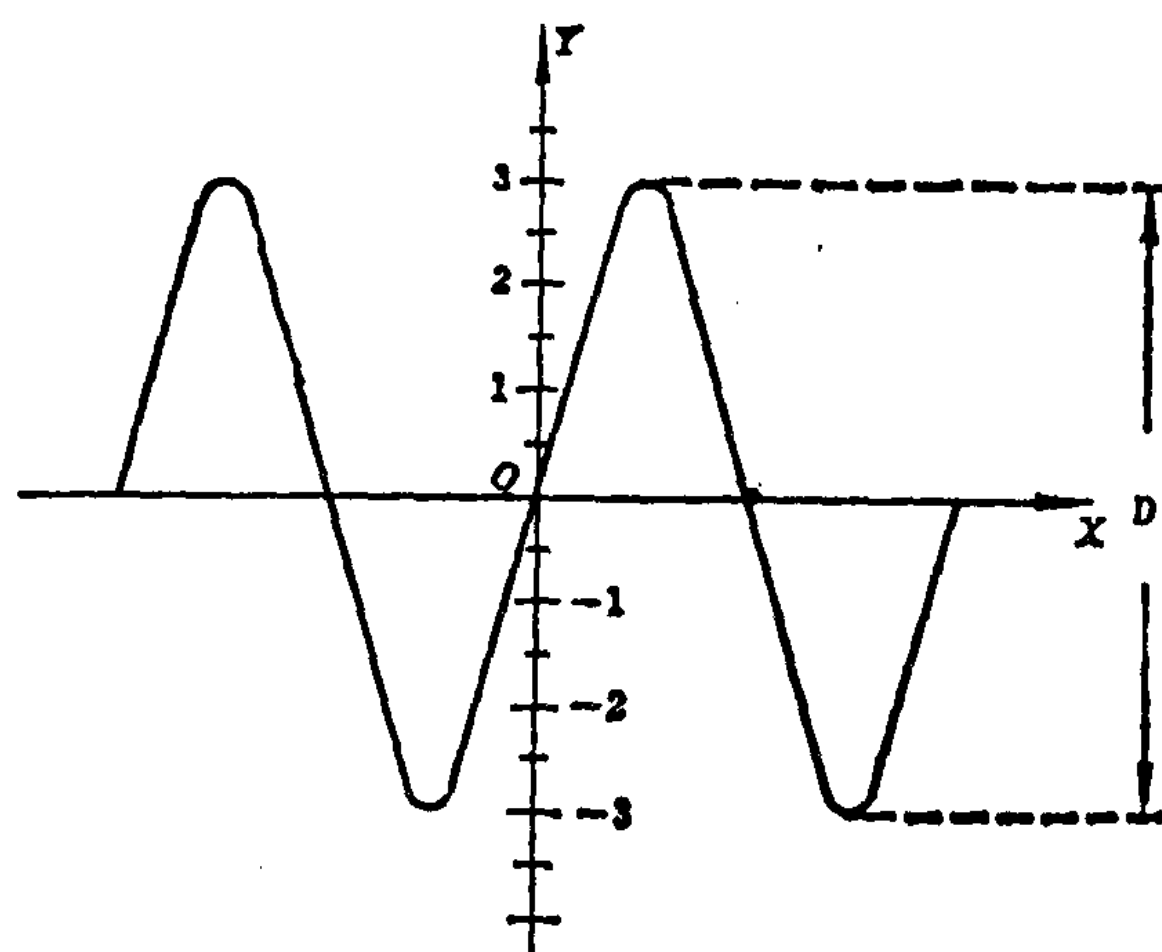


图 1.9 交流幅度测量

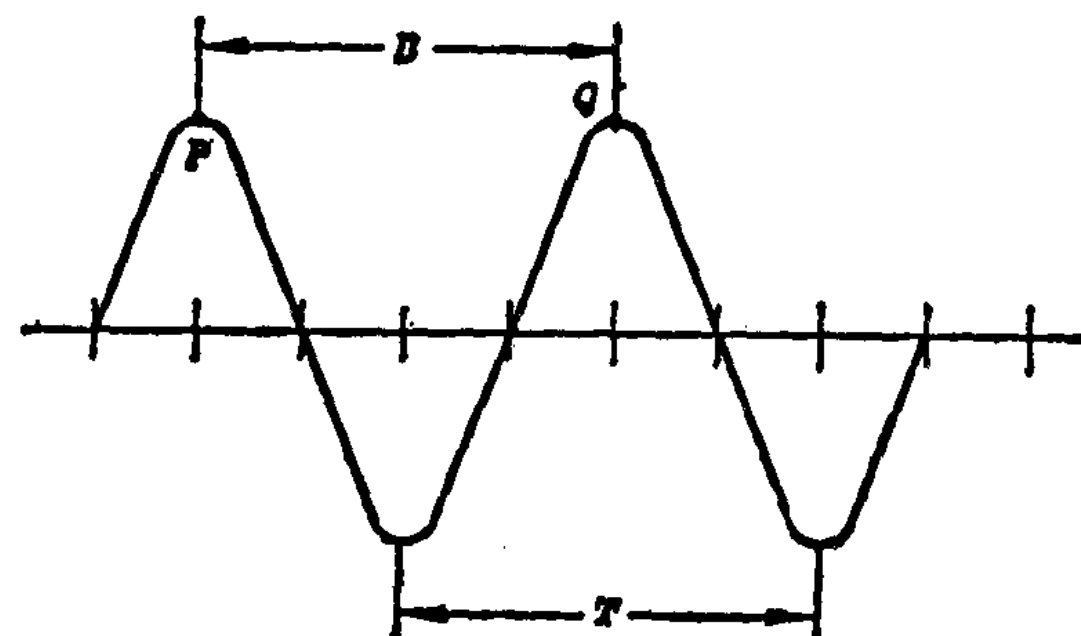


图 1.10 时间测量

### 3. 时间测量

时间测量是指 X 轴读数，量程由 X 轴的时基扫描速度开关“ $t/\text{div}$ ”决定。

#### (1) 测量前校准

方法与步骤参阅附录 ST-16 或 SBE-20 使用说明。

#### (2) 测量信号波形任意两点间的时间间隔 $t$ 。

将被测信号送入 Y 轴，调节有关旋钮，使其在荧光屏上呈现稳定波形，如图 1.10 所示，然后

① 电压峰-峰值 ( $V_{P-P}$ ) 与峰值 ( $V_m$ ) 和有效值 ( $V_r$ ) 换算关系如下：

$$V_{P-P} = 2V_m = 2\sqrt{2}V_r.$$

测量  $P$ 、 $Q$  两点的时间间隔  $t$ 。

- 测出  $P$ 、 $Q$  间在屏幕  $X$  轴上的距离  $B(\text{div})$ 。
- 记录“ $t/\text{div}$ ”扫描档级指示值，如为“ $A(\text{ms}/\text{div})$ ”。

用公式  $t = A(\text{ms}/\text{div}) \times B(\text{div}) = A \times B(\text{ms})$ ，计算时间间隔。

例如：若测得  $B = 5 \text{ div}$ ，而“ $t/\text{div}$ ”指在  $0.1(\text{ms}/\text{div})$  时，则

$$t = 0.1(\text{ms}/\text{div}) \times 5(\text{div}) = 0.5(\text{ms})$$

表明图 1.10 中  $P$ 、 $Q$  两点间的时间间隔是 0.5 毫秒。

#### 4. 频率测量

##### (1) 用 $X$ 轴时基( $t/\text{div}$ )测量

利用  $f = \frac{1}{T}$  关系，先按时间测量方法，测出周期  $T$ ，即可求出频率。

根据表 1.1 所给数据，改变低频信号发生器的输出频率分别为  $50, 100, 200, \dots$ ，分别测量波形中相邻峰-峰(或谷-谷)之间在屏幕上的距离  $B(\text{div})$ ，并将  $B$  和  $A(t/\text{div})$  值填入表 1.1 中，计算出相应的  $T$  和  $f_a$ 。

##### (2) 用李沙育法测量

若有二个不同频率的信号，分别同时加入示波器  $X$  轴和  $Y$  轴输入端，如图 1.11 所示。在屏幕上显示的图形将取决于不同频率比及初相，如图 1.12 和 1.13 所示。

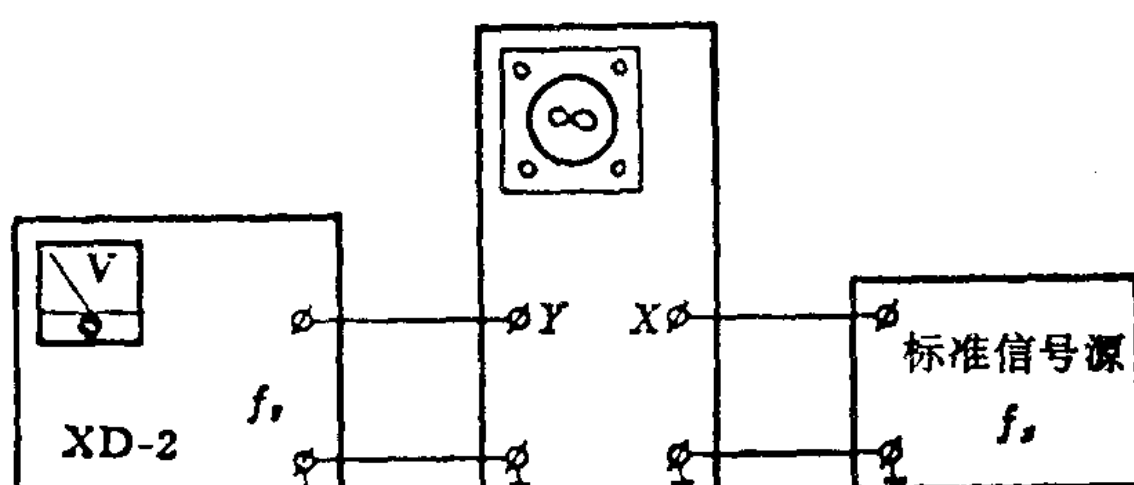


图 1.11 李沙育图形法测试仪器连接

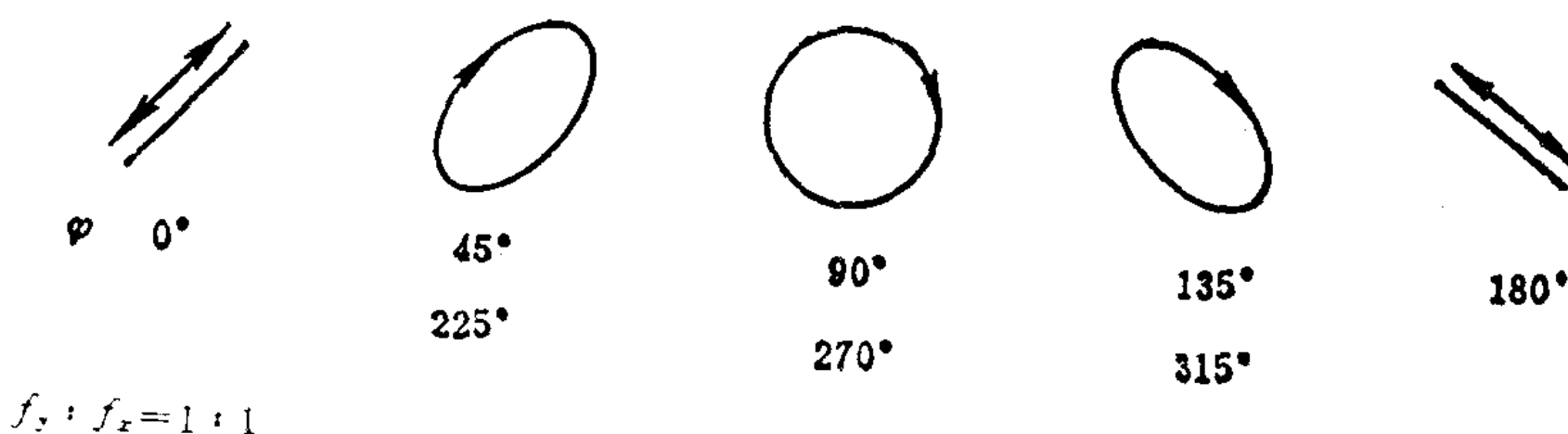


图 1.12 频率比为 1 不同相位差的李沙育图形

在李沙育图中确定频率比值的方法，是在图形中的水平和垂直方向上作两条互相垂直的直线，这两条线都不通过李沙育图形中的任何一个交点，设水平线与李沙育图形的交点数为  $n_x$ ，垂直线与李沙育图形的交点数为  $n_y$ ，则两个交点数之比与频率比有如下关系

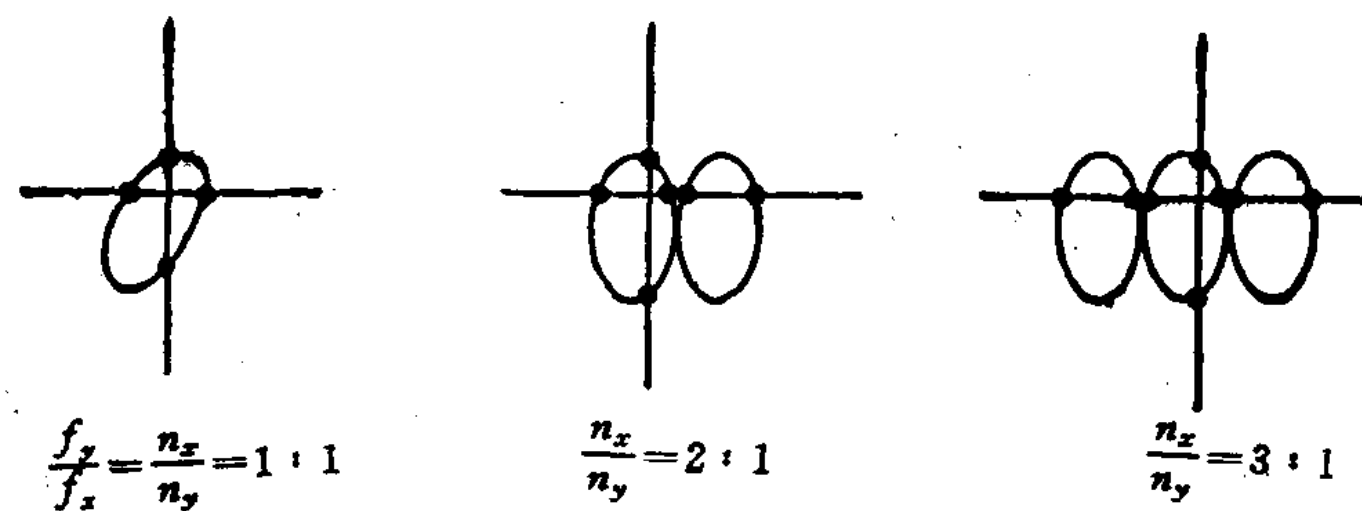


图 1.13 不同频率比的李沙育图形

$$\frac{f_y}{f_x} = \frac{n_x}{n_y}$$

假设  $f_x$  是已知的频率, 由上式可以确定被测的频率:

$$f_y = \frac{n_x}{n_y} f_x$$

练习时, 以电源频率为标准从 X 轴输入, 将被测频率的信号输入 Y 轴, 如图 1.11 所示。校测低频信号发生器的低段频率刻度 (如 25 Hz, 50 Hz, 100 Hz, 150 Hz, 200 Hz, 250 Hz, 300 Hz)。

表 1.1

低频信号发生器 $f_x$ (Hz)	50	100	200	300	500	1k	5k	10k	15k	20k
一周的间距 $B$ (div)										
$A(t/div)$										
$T = A(t/div) \times B$ (div)										
$f_x = \frac{1}{T}$ (Hz)										

## 5. 相位测量

在许多场合下, 可利用示波器测量某一电路的相移。例如一正弦波电流通过一个  $RC$  电路, 测量它的电压与电流之间相位关系。假设交流电压和电流分别为

$$v = V_m \sin \omega t$$

$$i = I_m \sin(\omega t + \varphi)$$

则相移

$$\varphi = \tan^{-1} \frac{1}{RC\omega}$$

### (1) 直接比较法

方法一:

a. 按图 1.14 连接电路。将示波器的触发选择开关置于“外”, 同时将 A 端电压分别送入 Y 轴和 X 轴, 然后调节 “ $t/div$ ” 档级、扫描微调和电平等旋钮, 使信号的周期宽度恰为 9 div, 这样 X 轴上的坐标刻度值与信号的相角值直接相对应, 即  $360^\circ / 9 \text{ div} = 40^\circ/\text{div}$ 。

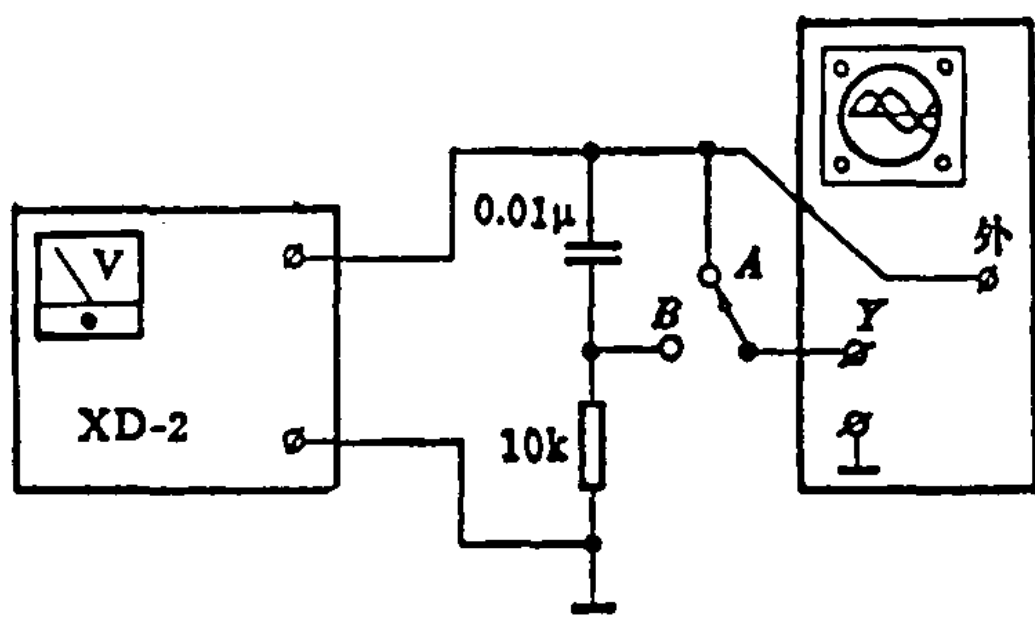


图 1.14 测相位连接电路

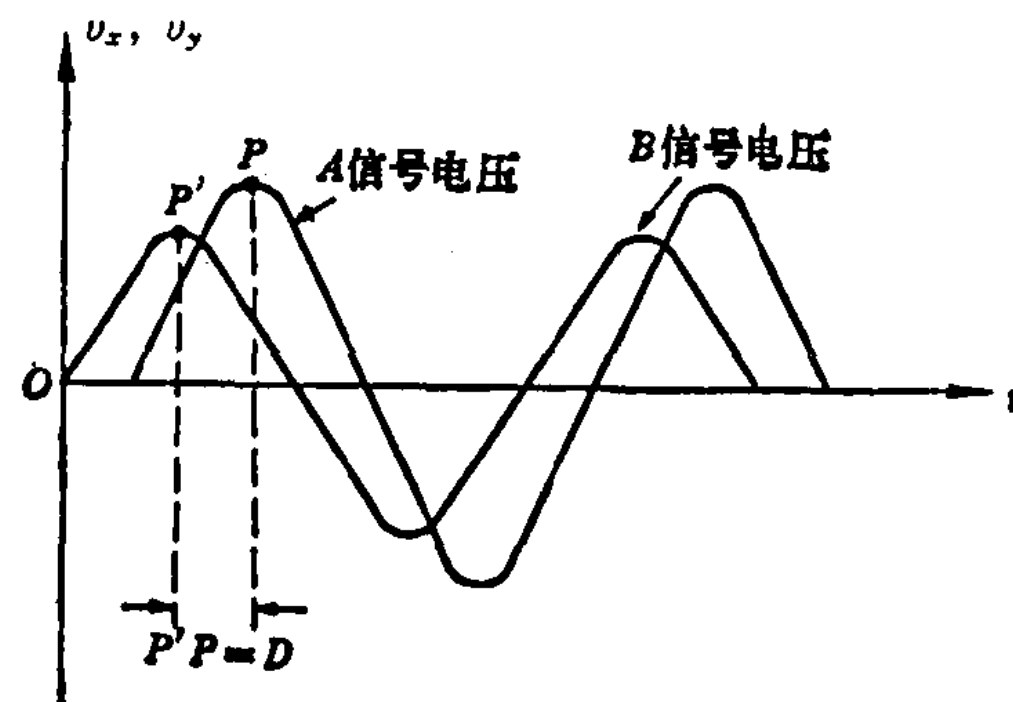


图 1.15 比较法测量相位差

b. 读出  $A$  信号电压的某一特定点  $P$  位置, 如图 1.15 所示。然后保持各旋钮位置不变, 将原输入  $Y$  轴的  $A$  信号电压改为  $B$  信号电压, 并按上述方法测出  $B$  信号电压在  $X$  轴上相应点  $P'$  位置。测出  $P'$  与  $P$  间距  $D$  值。

c. A信号电压与B信号电压之间的相移为

$$\varphi = D \text{ div} \times 40^\circ / \text{div} = 40D^\circ$$

方法二：

测量步骤基本上与方法一相似，只要求  $A$  信号电压在屏幕上显示的周期宽度在  $X$  轴上刻度为  $X \text{ div}$  值（不必恰为 9 div），读测  $A$  信号电压与  $B$  信号电压两个相应特定点  $P$ 、 $P'$  的间距  $D \text{ div}$ ，则两信号电压的相移为

$$\varphi = \frac{D}{X} \times 360^\circ$$

## (2) 李沙育图形法

a. 保持上述旋钮位置不变, 然后再把示波器(ST-16)触发极性开关置“外”, 并将 A 信号送入 X 轴, B 信号送入 Y 轴。如图 1.16 所示。

b. 分别控制输入信号幅度及示波器的 V/div 档级，使图形约占示波器屏幕有效面积的  $1/3$ 。

c. 两个信号间的相移为

$$\varphi = \arcsin \frac{b}{a}$$

因为加入  $X$  轴的  $A$  信号为

$$v_1 = V_m \sin \omega t$$

加入  $Y$  轴的  $B$  信号为

$$v_s = V'_s \sin(\omega t + \varphi)$$

当  $t=0$  时  $v_B = V'_m \sin \varphi$ , 设其在  $X$  轴上截距为  $b$ , 则

$$b = KV'_m \sin \varphi$$

在  $t = t_1$  时,  $v'_B$  在  $X$  轴上的最大偏移距离为  $a$ , 则

$$a = KV'_m$$

式中  $K$  为  $X$  轴偏转灵敏度, 因此,

$$\sin \varphi = \frac{b}{a} = \frac{\text{X轴截距}}{\text{X轴最大偏移距离}}$$

$$\varphi = \arcsin \frac{b}{a}$$

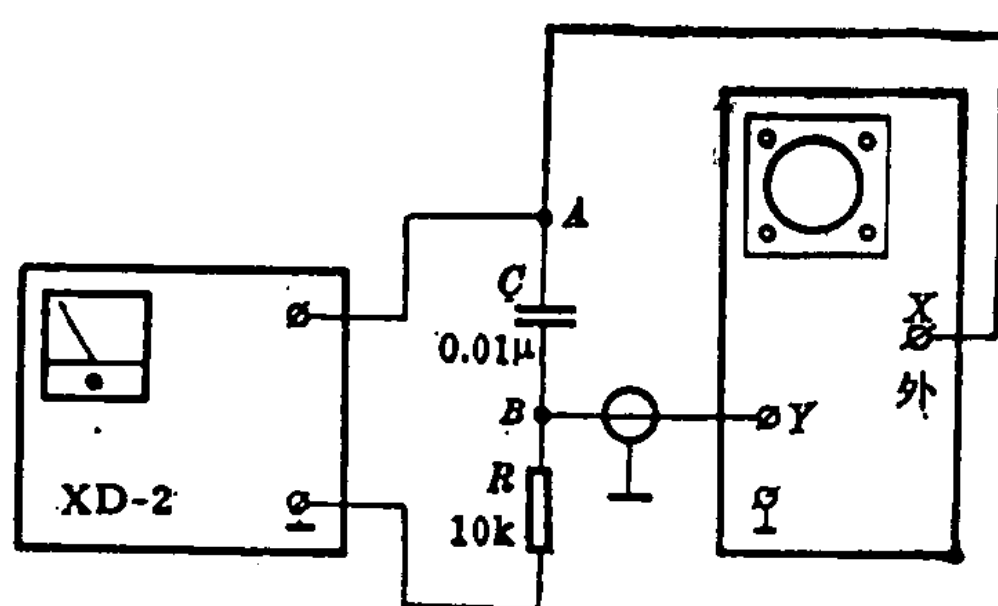


图 1.16 李沙育法测试仪器联接

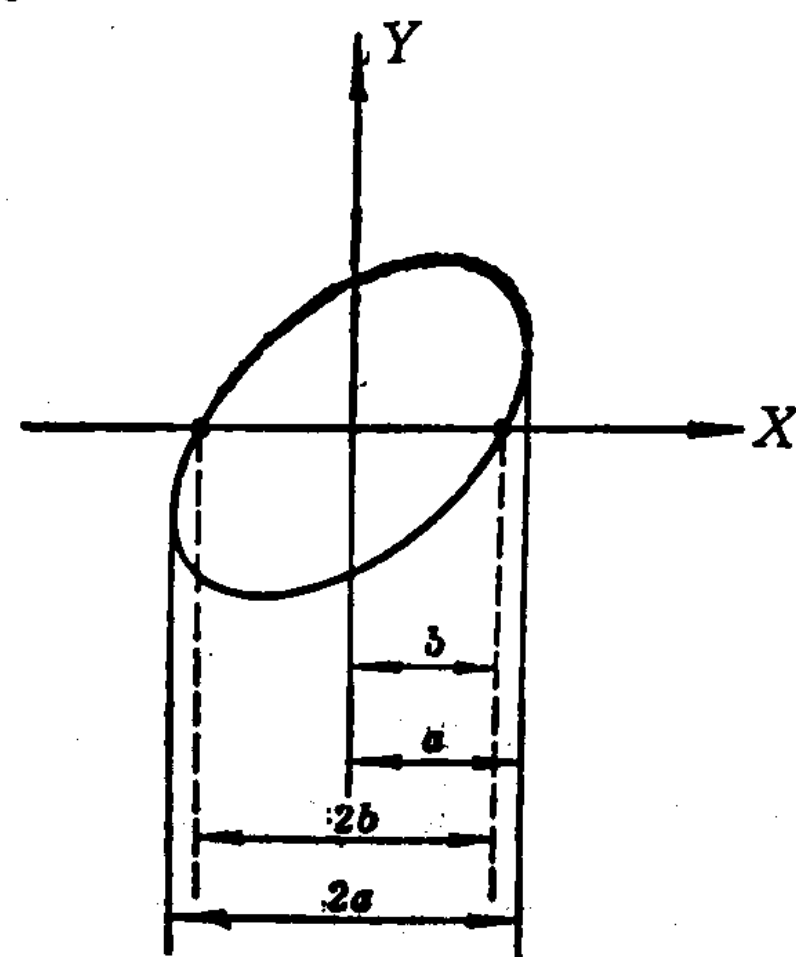


图 1.17 李沙育法图形

为了减少测量误差, 可按图 1.17 所示用  $2a, 2b$  值计算。

#### 四、实验预习要求

- 熟悉有关示波器原理和波的合成原理。
- 阅读 SBE-20 或 ST-16 示波器的使用说明书。

#### 五、实验仪器及器材

名 称	参考型号	数 量	用 途
示波器	SBE-20 或 ST-16	1	观察信号波形
低频信号发生器	XD-2 或 XD-7	1	信号源
相移器	$R = 10\text{k}\Omega, C = 0.01\mu\text{F}$	1	测相移
万能电桥	QS18A	1	测 $R, C$

#### 六、练习报告

- 作出低频信号发生器的频率校正曲线  $f_a \sim f_{ba}$  和幅频特性  $V_{P-P} \sim \log f_a$  (或  $V_a \sim \log f$ )。
- 用李沙育方法或直接比较法测得频率  $f = 1\text{ kHz}$  下的  $R(10\text{k}\Omega), C(0.01\mu\text{F})$  电路的相移, 并与计算值比较。
- 写出实验心得体会。

#### 七、思考题

- 欲测量信号波形上任意两点间的电压应如何测量? 举例并附图说明。
- 若被测信号频率远大于示波器锯齿波扫描频率, 则示波管屏幕上将呈何波形? 反之又如何?